

## بررسی اثر تخریب یک طرفه و دو طرفه هسته پارازیگانتوسلولاریس در بروز رفتارهای سندروم ترک ناشی از تزریق کافئین و نالوکسان در موش‌های صحرایی فر

دکتر محسن خلیلی نجف آبادی<sup>۱\*</sup>، دکتر محمد رضا جلالی ندوشن<sup>۲</sup>، دکتر هدایت صحرایی<sup>۳</sup>، علی نوروز زاده<sup>۴</sup>

۱- استادیار، گروه فیزیولوژی، دانشکده پزشکی، دانشگاه شاهد.

۲- دانشیار، گروه پاتولوژی، دانشکده پزشکی، دانشگاه شاهد.

۳- استادیار، گروه فیزیولوژی، دانشکده پزشکی، دانشگاه بقیه ا...

۴- مریب، گروه فیزیولوژی، دانشکده پزشکی، دانشگاه بقیه ا...

تاریخ دریافت ۸۴/۷/۹، تاریخ پذیرش ۸۴/۱۱/۲۶

### چکیده

**مقدمه:** هسته پارازیگانتوسلولاریس (PGi) در دو پدیده وابستگی و سندروم ترک مرفین به ترتیب یک کاهش و یک افزایش فعالیت نشان می‌دهد. با توجه به این که در دو سیستم اوپیوئیدی و آدنوزینی علائم سندروم ترک نه تنها به کمک آنتاگونیست‌های همان سیستم بلکه به وسیله آنتاگونیست‌های سیستم مخالف هم بروز می‌کند، در مطالعه حاضر با تخریب هسته PGi به مطالعه رفتارهای سندروم ترک ناشی از تزریق کافئین و نالوکسان جهت بررسی نقش این هسته در بروز این رفتارها پرداخته‌ایم.

**روش کار:** در این مطالعه تجربی تعدادی از موش‌های صحرایی طی ۲۱ روز مصرف مرفین از طریق آب آشامیدنی با دوزهای افزایش یابنده معتاد شدند. سپس به گروه‌های کنترل (دست نخورده)، شم ( فقط مراحل جراحی را طی می‌کردند)، گروهی که یکی از هسته‌ها در آنها تخریب می‌شد و گروهی که هر دو هسته چپ و راست در آنها تخریب می‌شد، تقسیم شدند. برای بررسی علائم سندروم ترک، در روش اول با تزریق نالوکسان (۲ میلی گرم بر کیلوگرم زیر جلدی) و در روش دوم با تزریق کافئین (۵۰ میلی گرم بر کیلوگرم درون پرویتوئن) به حیوانات، علائم ایجاد شده ثبت می‌گردید. اطلاعات به دست آمده توسط آزمون آنالیز واریانس یک طرفه، آزمون توکی و آزمون کای دو، تجزیه و تحلیل و  $p < 0.05$  معنی‌دار در نظر گرفت شد.

**نتایج:** پارامترهای رفتاری سندروم ترک مرفین پس از تزریق نالوکسان شامل: اسهال، روی هم افتادن پلک، دندان قروچه، انزال، بی‌قراری، حرکت سگ خیس، راست شدن دم، پریدن و کاهش وزن بود که پس از تخریب دو طرفه هسته PGi در سه رفتار بی‌قراری، دندان قروچه و پریدن به شکل معنی‌داری کاهش پیدا کرد. در مورد ظهور علائم سندروم ترک با کافئین مشخص شد که تنوع بروز این علائم کمتر بوده (اسهال، انزال، دندان قروچه، جویدن، بی‌قراری و پریدن)، اما تخریب دو طرفه هسته PGi به مقدار بیشتری این رفتارها را تحت تاثیر قرار داد. چنانچه از علائم مذکور چهار علامت اسهال، انزال، دندان قروچه، و بی‌قراری به میزان مشخصی در بی‌تخریب دو طرفه هسته PGi کاهش یافت.

**نتیجه گیری:** به طور کلی از نتایج این مطالعه مشخص شد که تنوع بروز علائم سندروم ترک نالوکسان بیشتر از کافئین بوده و تخریب دو طرفه هسته PGi سبب تخفیف بروز علائم سندروم ترک به خصوص در سندروم ترک ناشی از تزریق کافئین می‌شود.

**واژگان کلیدی:** علائم سندروم ترک مرفین، هسته پارازیگانتوسلولاریس، کافئین، نالوکسان

نویسنده مسئول: تهران، بلوار کشاورز، خ شهید عبدال... زاده (دهکده)، دانشکده پزشکی شاهد، گروه فیزیولوژی، تلفن: ۸۸۹۶۴۷۹۲، فاکس: ۸۸۹۶۶۳۱۰

E mail: [najafabady@yahoo.com](mailto:najafabady@yahoo.com)

هم‌چنین نالوکسان به عنوان آنتاگونیست عمومی سیستم اوپیوئیدی قادر است در حیواناتی که به آنالوگ‌های آدنوزینی وابسته شده‌اند سندرم ترک ایجاد نماید(۱۲). به این ترتیب می‌توان گفت هسته PGi یکی از جایگاه‌های تداخل دو سیستم آدنوزینی و اوپیوئیدی در بروز رفتارهای ترک در هر یک از دو سیسم مذکور باشد.

لذا با توجه به ارتباط دو جانبه سیستم اوپیوئیدی و آدنوزینی در هسته PGi، در این مطالعه با تخریب برگشت ناپذیر هسته PGi، نقش این هسته در بروز رفتارهای سندرم ترک مرfinی به دنبال تزریق کافین بررسی شده و در همین راستا با تخریب هسته مذکور و مشاهده رفتارهای سندرم ترک مرfinی با تزریق نالوکسان، مقایسه‌ای بین نقش حذف هسته مذکور در بروز علائم سندرم ترک بین دو سیستم آدنوزینی و اوپیوئیدی صورت گرفته است.

### روش کار

در این تحقیق که یک مطالعه تجربی می‌باشد موش‌های صحرایی نرا از نژاد NMRI (انستیتو رازی ایران) با وزن ۳۳۰-۴۵۰ گرم برای تمام آزمایش‌ها مورد استفاده قرار گرفتند. موش‌ها به صورت سه تایی در قفس قرار داده شدند و دمای محیط آنها ۲۵-۲۶ درجه سانتی‌گراد تنظیم شد. نور محیط به صورت یک چرخه ۱۲ ساعت روشن ۱۲ ساعت تاریکی توسط یک تایمر کنترل گردید. آب و غذا به مقدار مورد نیاز در دسترس موش‌ها قرار می‌گرفت. در تمام مراحل آزمایشات اصول اخلاقی پژوهش در مورد حیوانات رعایت شد. برای ایجاد وابستگی در حیوانات، مرfin می‌باشد که دوزهای مدت ۴۸ ساعت و ۰/۴ میلی‌گرم در میلی لیتر در طی

### مقدمه

هسته پارازیگانتوسلوЛАریس<sup>۱</sup> (PGi<sup>۱</sup>) در قسمت شکمی جانبی بصل النخاع واقع شده است. این هسته یکی از مراکز مهم تنظیم کننده فعالیت‌های تنفسی و قلبی عروقی می‌باشد. علاوه بر این مشخص شده که فعالیت الکتریکی این هسته در راستای پدیده‌های وابستگی و سندرم ترک مرfin متغیر می‌باشد(۱-۳)، به طوری که در طی وابستگی، فعالیت الکتریکی این هسته (فرکانس در واحد زمان) کاهش و در سندرم افزایش بارز پیدا می‌کند(۴). تحقیقات نشان داده است که افزایش فعالیت الکتریکی این هسته که در سندرم ترک رخ می‌دهد، در بروز رفتارهای سندرم ترک، نقش اساسی دارد(۵-۷). از طرفی هسته لوکوس سروکلؤس (LC) که فعالیت‌های مختلف بدن مثل فعالیت سیستم سمپاتیک و پاراسمپاتیک را به عهده دارد می‌تواند از طریق تاثیرپذیری مستقیم از هسته PGi، در تغییر فعالیت‌های بدن طی سندرم ترک نقش مهمی را ایفا نماید. در این زمینه ثابت شده است که تخریب هسته PGi و یا تحریک الکتریکی آن می‌تواند بترتیب از طریق کاهش و افزایش فعالیت LC سبب بروز رفتارهای دوره وابستگی و سندرم ترک گردد(۸-۱۰). از طرفی ارتباط دو جانبه سیستم اوپیوئیدی و آدنوزینی در هسته PGi شناخته شده است(۱۱-۱۳) و مشخص شده مصرف مرfin و آدنوزین هر دو از طریق مسیر سیگنالینگ آدنوزین منوفسفات حلقوی در هسته PGi عمل می‌کنند. بنابراین آنتاگونیست‌های هر یک از این دو سیستم می‌توانند در ایجاد سندرم ترک در سیستم مقابل عمل کنند(۱۴). کافین و تئوفیلین به عنوان آنتاگونیست‌های عمومی سیستم آدنوزین قادرند در موش‌های وابسته به مرfin سندرم ترک بدنهند(۱۳).

<sup>۱</sup> - Paragigantocellularis.

تزریق می شد. شاخص های رفتاری سندروم ترک نظیر لرزش سر، اسهال، افتادگی پلک، به خود پیچیدن، به هم خوردن دندان ها، حساسیت به تحريكات خارجی و کاهش وزن پس از تحویز نالوکسان مؤید وابستگی حیوان به مرفین می باشد. رفتارهای بروز کرده در طی سندروم ترک به طور کلی توسط قرارداد استاندارد از لحاظ قابل شمارش یا غیر قابل شمارش بودن به دو گروه ۱- علائم درجه بندی شونده<sup>۳</sup> و ۲- علائم غیر قابل درجه بندی<sup>۴</sup> تقسیم می شوند<sup>(۱۵)</sup>. علائم درجه بندی شامل کاهش وزن، پریدن، انقباضات شکمی و حرکت سگ خیس و علائم غیر قابل درجه بندی شامل اسهال، دندان قروچه، بلع، ترشح بزاق، روی هم افتادن پلک، وضعیت شکمی، تمیز کردن آلت تناسلی، انزال و بی قراری می باشد. در کل برای سنجش معنی داری تغییر رفتارهای سندروم ترک در هر یک از گروه ها از مقیاس کلی سندروم ترک اپیوئید استفاده شد. در این مقیاس طبق فرمول ذیل میزان بروز سندروم ترک در هر موش بررسی گردید.

Overall opiate withdrawal score = (no. of Jumping $\times 0.1$ ) + (no. of Wet dog shakes) + (no. of Strop tail) + (% Weight loss  $\times 5$ ) + (Diarrhea $\times 2$ ) + (Ptosis) + (Teeth chattering) + (Genital grooming  $\times 2$ ) + (Irritability) + (Chewing)

تعداد حجم نمونه با توجه به دو گروه کافئینی و نالوکسانی و چهار زیر گروه در هر یک از گروه ها و تعداد ۸-۱۲ عدد نمونه در هر زیر گروه حدود ۸۰ سر حیوان می باشد. زیر گروه های تحقیقی عبارت بودند از: زیر گروه اول، دست نخورده (Intact) که هیچ گونه تغییر خاصی بر روی موش انجام نمی شد، زیر گروه دوم (شم) که فقط مراحل جراحی تخریب هسته PGi انجام

روزهای بعد تا روز بیست و یکم به آب آشامیدنی موش ها اضافه می شد. برای از بین بردن مزه تلخ مرفين سوکروز<sup>۳</sup> در صد به آب آشامیدنی اضافه شد. موش های صحرایی گروه شاهد در شرایط یکسان از نظر درجه حرارت، نور محیط و دسترسی به غذا نگهداری می شدند، ولی آب آشامیدنی آنها فاقد PGi سوکروز و مرفین بود. برای ایجاد تخریب در هسته PGi پس از بیهوش کردن موش ها با تزریق کتابمین، حیوان به داخل دستگاه استریوتاکسی ناریشیگه، ژاپن<sup>۱</sup> منتقل می گردید. به کمک دستگاه استریوتاکسی مختصات هسته پارازیکانتوسلوЛАریس (۱۱/۹۶-۱۱/۹۵ میلی متر در خلف برگما، ۱/۷-۱/۶ میلی متر در جانب خط وسط و ۹/۶-۱۰/۱ میلی متر به طرف عمق از سطح جمجمه) یافت و بر روی جمجمه حیوان به کمک سرمته دندانپزشکی سوراخی به قطر دو میلی متر ایجاد شد. از طریق سوراخ ایجاد شده الکترودهای مربوطه به طرف هسته PGi فرستاده می شد. پس از قرار گرفتن الکترودها در هسته PGi با اعمال جریان ۱/۵ آمپر در حدود ۱۵-۱۰ ثانیه هسته تخریب می گردید. پس از این مرحله الکترودها خارج و پوست سر حیوان بخیه زده می شد. با به هوش آمدن موش ها دوره بهبودی را که حدود دو روز بود طی کرده و وارد مراحل آزمایشات می شدند. در گروه شم<sup>۴</sup> فقط مراحل جراحی انجام گرفته ولی تخریب هسته انجام نمی گرفت.

برای بررسی و مطالعه رفتاری وابستگی معمولاً از هر گروه ده تایی موش صحرایی که مصرف مزمن مرفین را شروع می کردند بیست و یک روز پس از آغاز مصرف، به یک موش برای بررسی وابستگی به مرفین، نالوکسان (۲ میلی گرم بر کیلو گرم) به روش زیر جلدی

<sup>3</sup>- Graded signs.

<sup>4</sup>- Chocked signs.

<sup>1</sup>- Narishige, Japan.

<sup>2</sup>- Sham.

نتايج

اشر تخریب هسته پاراژیگانتو سلولاریس بر پارامترهای رفتاری سندروم ترک حاصل از تزریق نالو کسان علائم سندروم ترک نالو کسان شامل اسهال، روی هم افتادن پلک، دندان قروچه، تمیز کردن آلت تناسلی، بی قراری، حرکت سگ خیس، راست شدن دم، پریدن و کاهش وزن بود که به ترتیب با درصد های  $\frac{36}{6}$ ،  $\frac{53}{3}$ ،  $\frac{83}{6}$ ،  $\frac{40}{6}$ ،  $\frac{43}{3}$  و  $\frac{40}{6}$  به وقوع پیوست. از بین این علائم تخریب یک طرفه هسته PGi فقط بر روی علامت روی هم افتادن پلک به میزان معنی داری ( $p < 0.001$ ) موثر بود (جدول 1). همچنین تخریب دو طرفه هسته PGi توانست علائم غیرقابل درجه بندی روی هم افتادن پلک و دندان قروچه را کاهش معنی دار دهد و از علائم قابل درجه بندی شونده علامت پریدن به صورت مشخص (p < 0.05) کاهش بافت (جدول 1).

می گرفت ولی هسته تخریب نمی شد، گروههای سوم و چهارم که پس از جراحی به ترتیب با اعمال جریان الکتریکی به داخل هسته PGi به صورت یک طرفه و دو طرفه تخریب هسته صورت می گرفت. برای انجام محاسبات آماری، دادههای رفتاری قابل درجهبندی به صورت تعداد رفتار بروز کرده در واحد زمان در هر موش ثبت می شد. سپس به دنبال تایید پارامتریک بودن بروز رفتارهای سنتدرم ترک، تعداد بروز رفتارها در گروههای مختلف به کمک آزمون آنالیز واریانس یک طرفه و آزمون توکی مقایسه می گردید. مقایسه معنی داری دادهها بین رفتارهای غیر قابل شمارش، درصد بروز رفتار در گروههای مختلف با آزمون کای دو صورت گرفت. در هر دو نوع آزمون مورد استفاده p به عنوان سطح معنی داری انتخاب گردید.

جدول شماره ۱. مقایسه بیروز علائم سندروم ترک نالوکسان بدنال تخریب یک طرفه و دوطرفه هسته PGi

گروه‌ها	در صد بروز علائم	دست نخورده	شم	تخربیک طرفه هسته	تخریب دو طرفه هسته	PGi	PGi	PGi
روی هم افتادن پلک	۶۰ ± ۵/۸۹	۵۴ ± ۶/۲۵	۱۶ ± ۱۱/۱ **	۱۰ ± ۷ **				
دندان قروچه	۷۶/۶ ± ۵/۶۳	۶۴/۸ ± ۵/۲۹	۶۲/۲ ± ۵/۷۵	۲۷/۵ ± ۹/۵ *				
پریدن	۱۳/۷ ± ۰/۹۲	۱۱/۸۵ ± ۰/۷۸	۱۲/۴ ± ۰/۶۶	۸/۲۶ ± ۰/۳۵ *				

\* و \*\* به ترتیب p کوچک‌تر از ۰/۰۵ و ۰/۰۱. بین گروه دست نخورده و گروه مورد نظرنمود باشد.

در صد بروز رفتارهای فوق به ترتیب ۳۶/۶، ۶۰، ۶۷/۶ و ۵۳/۳، ۴۰، ۴۳/۳، ۹۰ و ۴۰ بود. تخریب یک طرفه هسته PGi بر هیچ کدام از رفتارهای سندروم ترک موثر نبود، اما تخریب دوطرفه هسته PGi به طور معنی‌داری چهار علامت اسهال، تمیز کردن آلت، بی‌قراری و دندان قوه و ۱۱ کاهش داد (حدول، ۲).

اثر تخریب هسته پاراژیگانتو سلولاریس بر پارامترهای رفتاری سندروم ترک حاصل از تزریق کافین (۵۰ میلی گرم بر کیلو گرم درون پریتوئنی) در موش‌های معتاد به مرفین سبب بروز علائم سندروم ترک مرفینی اسهال، روی هم افتادن پلک، دندان قروچه، تمیز کردن آلت تناسلی، بی‌قراری، حرکت سگ خیس، راست شدن دم، پریدن و کاهش وزن گردید.

جدول شماره ۲. مقایسه بروز علائم سندروم ترک کافئین بدنبال تخریب یک طرفه و دو طرفه هسته PGi

گروه‌ها	درصد بروز علائم	دست نخورده	شم	تخریب یکطرفه هسته	PGi	تخریب دو طرفه هسته	PGi
اسهال	۹۳/۳ ± ۶/۱	۸۵ ± ۷	۹۰ ± ۶/۱	۲۶/۶ ± ۱۰/۵ ***			
تمیز کردن آلت تناسلی	۸۰ ± ۳/۹	۸۲ ± ۴/۳	۸۰ ± ۴/۲	۳۶ ± ۶/۸ ***			
بی‌قراری	۹۶/۶ ± ۶/۴۵	۸۳/۲ ± ۷/۶۵	۹۰ ± ۶/۶۱	۳۳/۳ ± ۱۱/۰۷ **			
دندان قروچه	۷۰ ± ۵/۱۸	۶۵ ± ۵/۲۳	۷۳ ± ۵/۱۳	۴۶ ± ۵/۳۷ *			

\*، \*\* و \*\*\* به ترتیب p کوچک‌تر از ۰/۰۱، ۰/۰۵ و ۰/۰۰۱ بین گروه دست نخورده و گروه مورد نظرمی‌باشد.

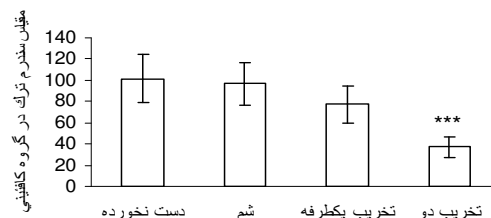
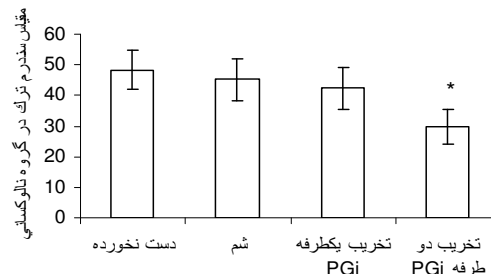
## بحث

در این مطالعه مرفین به صورت خوراکی جهت معتاد کردن موش‌ها تجویز شد. چون حیوان آزادانه به ماده مخدّر دسترسی دارد، بنابراین وابسته شدن موش‌ها به وابستگی انسان‌ها نزدیک‌تر است<sup>(۱۶)</sup>. در آزمایشات اولیه این تحقیق پارامترهای رفتار سندروم ترک با تجویز نالوکسان به دست آمدند که در مقایسه با یافته‌های دیگران با کمی تفاوت تقریباً مشابه هستند<sup>(۳)</sup>، چون در کار این تحقیق مقایسه رفتارهای سندروم ترک بین گروه‌های نالوکسان گرفته و کافئین گرفته انجام می‌پذیرد (چه در حالت تخریب یا عدم تخریب هسته PGi)، بخاطر کاهش خطای مقایسه داده‌ها، در موش‌های یک جنس و مشابه سندروم ترک نالوکسان و کافئین ایجاد شده است.

گزارشات موجود نشان داده‌اند که یک افزایش فعالیت الکترونیکی در هسته PGi در هنگام بروز رفتارهای سندروم ترک مرفین رخ می‌دهد<sup>(۱۷)</sup>. مشخص شده است که این افزایش فعالیت از طریق تاثیر بر سیستم سمپاتیک و پاراسمپاتیک در ساقه مغز نقشی اساسی در بروز رفتارهای سندروم ترک دارد<sup>(۶)</sup>. نتایج تحقیق ما نشان داد که تخریب هسته PGi می‌تواند در بروز این رفتارها چه به وسیله نالوکسان و چه به وسیله کافئین اثر کاهشی قابل توجهی بگذارد. این کاهش بارز در بروز رفتارها در راستای داده‌های حاصل از محققینی

## مقایسه اثر تخریب یک طرفه و دو طرفه هسته

PGi بر مقیاس کلی بروز رفتارهای سندروم ترک ناشی از تزریق نالوکسان و کافئین همان طور که در شکل ۱ قسمت A و B مشاهده می‌گردد، نشان می‌دهد که به طور کلی تخریب یک طرفه هسته PGi بر میزان بروز رفتارهای سندروم ترک<sup>۱</sup> موثر نبوده است. اما تخریب دو طرفه هسته مذبور قادر است بروز این رفتارها را در گروه تزریقی با نالوکسان و گروه تزریقی با کافئین کاهش معنی‌داری بدهد که این معنی‌داری در گروه کافئینی بارز‌تر می‌باشد (p<0/001).



نمودار. مقایسه میزان بروز رفتارهای سندروم ترک در گروه‌هایی که با نالوکسان و کافئین سندروم ترک را نشان داده‌اند.  
(\*P<0/05, \*\*\*P<0/001).

<sup>1</sup> - Overall opiate withdrawal syndrome.

رابطه متقابل اثر تقویتی هسته‌های PGi بر یگدیگر و سیستم‌های مربوطه را نمی‌توان از نظر دور داشت. به هر حال مقایسه داده‌های سندروم ترک نالوکسان و کافین نشان می‌دهد که درصد کاهش بروز این علائم به دنبال تخریب دو طرفه هسته PGi در گروه سندروم ترک کافینی بیشتر از گروه نالوکسان می‌باشد. به طوری که از ۹ علامت سه علامت بی‌قراری، روی هم افتادن پلک و دندان قروچه کاهش معنی‌دار پیدا کرده‌اند، ولی از شش علامت سندروم ترک بروز کرده با کافین چهار علامت اسهال، تمیز کردن آلت تناسلی، دندان قروچه و بی‌قراری تحت تاثیر معنی‌دار تخریب دو طرفه هسته PGi قرار گرفته‌اند. این بدان معنی است که اگرچه نقش هسته PGi در بروز علائم سندروم ترک نالوکسان بیشتر است، اما حذف این هسته بروز علائم سندروم ترک کافینی را بیشتر تحت تاثیر قرار می‌دهد. تأیید این مطلب مقایسه مقیاس کلی سندروم ترک اوپیوئیدی در دو گروه نالوکسان و کافین می‌باشد که نشان داد تخریب دو طرفه هسته PGi در گروه کافینی بیشتر از گروه نالوکسان می‌تواند بروز علائم سندروم ترک را تحت تاثیر قرار دهد.

### نتیجه گیری

به طور کلی نتایج این مطالعه نشان می‌دهد که روند بروز علائم سندروم ترک ناشی از تزریق کافین نسبت به نالوکسان تنوع کمتری داشته و تخریب دو طرفه هسته PGi، می‌تواند در بروز رفتارهای سندروم ترک به خصوص علائم سندروم ترک ناشی از تزریق کافین تاثیر معنی‌دار بگذارد. این یافته‌ها اگرچه اطلاعات پایه‌ای اعتیاد هستند اما به هر حال در یافتن جایگاه‌های اصلی مغز که در پدیده وابستگی نقش دارند جهت

است که افزایش فعالیت PGi را در بروز رفتارها موثر می‌دانند<sup>(۲، ۳)</sup>. هم چنین با توجه به ارتباط متقابل سیستم آدنوزینی و اوپیوئیدی که از طریق مسیر سیگنالینگ مشترک (بالا بدن فعالیت آدنوزین منوفسات حلقوی) در هسته PGi عمل می‌کنند، محققان نشان داده‌اند که آنالوگ‌های دو سیستم اگرچه گیرنده مجزا دارند اما واکنش‌های بعد رسپتوری مشابه داشته و به این ترتیب آناتاگونیست‌های دو سیستم می‌توانند در سیستم متقابل سندروم ترک ایجاد نمایند<sup>(۸، ۱۱)</sup>. یافته‌های مذکور می‌توانند مؤید نتایج حاصل از آزمایشات این تحقیق باشند که در آن کاهش بروز رفتارهای سندروم ترک مرفینی به دنبال تخریب هسته PGi در دو گروه تزریق نالوکسان و تزریق کافین مشاهده شده است. عدم تغییر معنی‌دار رفتارهای سندروم ترک به دنبال تخریب یک طرفه هسته PGi مؤید این نکته است که نقش این هسته در بروز علائم سندروم ترک، به خصوص در علائم ترک حاصل از تزریق نالوکسان به صورت دو طرفه اعمال می‌شود. در تأیید این مسئله می‌توان به چگونگی بروز رفتارهای شبیه سندروم ترکی اشاره کرد که توسط دیگر محققان با تحریک الکتریکی هسته‌های PGi به صورت دو طرفه ظهور کرده است<sup>(۱۷-۱۹)</sup>. در حقیقت به طور مصنوعی با بالا بدن فعالیت الکتریکی هسته‌های PGi در موش‌های غیر معتاد توانسته‌اند رفتارهای سندروم ترک را بروز دهند. از طرف دیگر می‌توان گفت عدم تاثیر کافی تخریب یک طرفه هسته PGi بر روند بروز رفتارهای سندروم ترک حاصل از آزمایشات این تحقیق و هم چنین فعالیت بیش از حد سیستم‌های سمپاتیک و پاراسمپاتیک در ارگان‌های خاص تحت تاثیر فعالیت بالای هسته PGi در طی سندروم ترک<sup>(۵)</sup>، شاید دلیلی برای عدم توانایی تخریب یک طرفه هسته PGi در بالا بدن فعالیت این سیستم‌ها به حد کافی باشد، اگرچه

9. Robin W, et al. The nucleus paragigantocellularis and opiate withdrawal-like behavior. *J Biomed Sci* 2000;7: 270-278.
10. Cailles S, Espejo EF, Koo GF, Stinus L. Dorsal and median raphe serotonergic system lesion does not alter the opiate withdrawal syndrome. *Pharmacol Biochem Behav* 2002;72: 979-986.
11. Dionyssopoulos T, Hope W, Coupar IM. Effect of adenosine analogues on the expression of opiate withdrawal in rats. *Pharmacol Biochem Behav* 1992; 42: 201-206.
12. Michalska E, Malek D. Agonist and antagonists of adenosine receptors and morphine withdrawal syndrome in rats. *Pol J Pharmacol* 1993; 45: 1-9.
13. Zarrindast MR, Naghipour B, Roushan-Zamir F, Shafaghi B. Effect of adenosine receptor agents on the expression of morphine withdrawal in mice. *Eur J Pharmacol* 1997; 369: 17-22.
14. Hack SP, Christie MJ. Adaptation in adenosine signaling in drug dependence: therapeutic implications. *Crit Rev Neurobiol* 2003; 15: 234-74.
15. Venetia Z, et al. The neuropeptide galanin modulates behavioral and neurochemical signs of opiate withdrawal. *Neuroscience* 2003; 22: 9028-9033.
16. Badavy AA, Evans CM. Production of tolerance and physical dependence in the rat by simple administration of morphine in drinking water. *Br J Pharmacol* 1982; 75: 485-491.
17. Peart JN, Gross GJ. Cross-talk between adenosine and opioid receptors. *Drug News Perspect* 2005; 4: 237-42
18. Kaplan GB, Leite-Morris KA, Sears MT. Alteration of adenosine A1 receptors in morphine dependence. *Brain Res* 1994; 657: 347-350.
19. Aley KO, Green PG, Levine JD. Opioid and adenosine peripheral antinociception are subject to tolerance and withdrawal. *J Neurosci* 1995; 15: 8031-8038.

درمان این بیماران کمک موثری می‌نمایند، اگرچه مصرف کمتر کافئین یا ترکیبات مشابه را در طی درمان بیماران معتاد نمی‌توان از نظر دور داشت.

## منابع

1. Dizgah IM, Karimian SM, Zarrindast MR, Sohanaki H. Attenuation of morphine withdrawal signs by a D1 receptor agonist in the locus coeruleus of rats. *Neuroreport* 2005; 15: 1683-6.
2. Johnson AD, Peoples J, Stornetta RI, Van Bockstaele EJ. Opioid circuits originating from the nucleus paragigantocellularis and their potentiation role in opiate withdrawal. *Brain Res* 2002; 955: 72-84.
3. Rasmussen K, Beitner DB, Krystal JH, Aghajanian GK, Nestler EJ. Opiate withdrawal and the rat locus coeruleus: behavioral, electrophysiological and biochemical correlates. *J Neurosci* 1990; 10: 2308-2317.
4. Haghparast A, Semnanian S, Fathollahi Y. Morphine tolerance and dependence in the nucleus paragigantocellularis: Single unit recording study in vivo. *Brain Res* 1998; 814: 71-77.
5. Rasmussen K, Martin H, Berger JE, Seager MA. The mGlu5 receptor antagonist MPEPE attenuate behavioral signs of morphine withdrawal and morphine-withdrawal-induced activation of locus coeruleus neurons in rats. *Neuropharmacology* 2005;2:173-80.
6. Khalili M, Semnanian S, Fathollahi Y. Caffeine increase paragigantocellularis neuronal firing rate and induces withdrawal signs in morphine-dependent rats. *E J Pharmacol* 2001; 412: 239-245.
7. Saiepour MH, Semnanian S, Fathollahi Y. Occurrence of morphine tolerance and dependence in the nucleus paragigantocellularis neurons. *E J Pharmacol* 2001; 412: 85-92.
8. McClung CA, Nestler EJ, Zacharous V. Regulation of gene expression by chronic morphine and morphine withdrawal in the locus ceruleus and ventral tegmental area. *J Neurosci* 2005;25: 6005-15.

## Effect of nucleus paragigantocellularis destruction on Caffeine and Naloxone withdrawal signs precipitation in male rats

Khalili Najaf abadi M<sup>7</sup>, Jalali Nadoshan MR<sup>8</sup>, Sahraei H<sup>9</sup>, Norooz zadeh A<sup>10</sup>

### Abstract

**Introduction:** It is showed that the activity of paragigantocellularis (PGi) nucleus is diminished in addict animals, but in contrast this activity was augmented during withdrawal period. Also, regarding interrelation of opiate and adenosine systems, it was obvious that in each system not only the specific antagonists but also the contrast antagonists system could produce withdrawal signs. In this study the role of PGi nucleus in precipitation of withdrawal signs induced by opiate and adenosine antagonists was investigated.

**Materials and Methods:** In this experimental study, dependency was induced by escalating doses of morphine via drinking water which were prescribed to the animals during a 21 days period. Then addicted rats were subjected to four groups: 1-Intact 2-Sham 3-unilateral PGi destruction and 4-bilateral PGi destruction. Withdrawal signs were induced by 1-Naloxone (2 mg/kg sc.) and 2-Caffeine (50 mg/kg ip.) administration in each group. Data was gathered and then analyzed using one way ANOVA, Tukey and Chi square tests. P<0.05 was considered significant.

**Results:** Naloxone withdrawal signs were consisted of diarrhea, ejaculation, teeth chattering, ptosis, irritability, wet dog shake, strop tail, jumping and weight loss. Following bilateral PGi destruction there was a marked attenuation in three signs of irritability, teeth chattering and jumping signs. The number of withdrawal signs which were produced by Caffeine administration were less than Naloxone (diarrhea, ejaculation, teeth chattering, chewing, irritability and jumping). However, destruction of PGi nucleus (bilateral) diminished four signs including: diarrhea, ejaculation, teeth chattering, and irritability.

**Conclusion:** The present study showed that the withdrawal signs precipitated with Caffeine are less different than Naloxone, and the bilateral PGi destruction could markedly attenuate these signs in Caffeine group more than Naloxone ones.

**Key words:** Opiate withdrawal signs, paragigantocellularis nucleus, Caffeine, Naloxone

<sup>7</sup> - Assistant professor (Ph.D), Department of Physiology, School of medicine, Shahed University.

<sup>8</sup> -Associate professor, Department of Pathology, School of medicine, Shahed University.

<sup>9</sup> -Assistant professor (Ph.D), Departmentt of Physiology, School of medicine, Baqiyatallah University.

<sup>10</sup> -Instructor, Department of Physiology, School of medicine, Baqiyatallah University.